

Univerzita Karlova  
Přírodovědecká fakulta



Algoritmy počítačové kartografie

Technická zpráva k první semestrální úloze

# Geometrické vyhledávání bodu

David Šklíba a Filip Zadrazil  
1. N-GKDPZ  
Praha 2022

# 1 Zadání a údaje o bonusových úlohách

*Vstup: Souvislá polygonová mapa  $n$  polygonů  $\{P_1, \dots, P_n\}$ , analyzovaný bod  $q$ .*

*Výstup:  $P_i$ ,  $q \in P_i$ .*

Nad polygonovou mapou implementujete Winding Number Algorithm pro geometrické vyhledání incidujícího polygonu obsahujícího zadaný bod  $q$ .

Nalezený polygon graficky zvýrazněte vhodným způsobem (např. vyplněním, šrafováním, blikáním). Grafické rozhraní vytvořte s využitím frameworku QT.

Pro generování nekonvexních polygonů můžete navrhnout vlastní algoritmus či použít existující geografická data (např. mapa evropských států).

Polygony budou načítány z textového souboru ve Vámi zvoleném formátu. Pro datovou reprezentaci jednotlivých polygonů použijte špagetový model.

## Hodnocení:

Krok	Hodnocení
Detekce polohy bodu rozlišující stavy uvnitř, vně, na hranici polygonu.	10b
<i>Analýza polohy bodu (uvnitř/vně) metodou Ray Algorithm.</i>	<i>+5b</i>
<i>Ošetření singulárního případu u Ray Algorithm: bod leží na hraně polygonu.</i>	<i>+5b</i>
<i>Ošetření singulárního případu u obou algoritmů: bod je totožný s vrcholem jednoho či více polygonů.</i>	<i>+2b</i>
<i>Zvýraznění všech polygonů pro oba výše uvedené singulární případy.</i>	<i>+3b</i>
<b>Max celkem:</b>	<b>25b</b>

V rámci vzniklého programu byly řešeny bonusové úlohy

## 2 Popis a rozbor problému

### 2.1 Point Location Problem

V rámci známého jednoduchého obecného problému *Point Location Problem* bývá zpravidla hledána poloha bodu ve vztahu k množině bodů, které tvoří  $m$  mnohoúhelníků (polygonů). V mnoha vědeckých a technických aplikacích je totiž důležité vědět, zda zadaný bod  $q$  leží uvnitř polygonu  $P$  či nikoli. *Point Location Problem* je klasickým problémem v počítačové grafice a výpočetní geometrii a je řešen od samotného vzniku těchto vědních disciplín. Jeho užití nalezneme například v GIS, kdy velmi často hledáme polohu bodu vzhledem k ostatním objektům v prostoru. Nalezení příslušného mnohoúhelníku je proto mnohdy velmi důležité.

V rámci tohoto problému bylo vyvinuto již velké množství algoritmů, které byly dokonce úspěšně implementovány v praxi. Hlavním problémem mnohých algoritmů jsou však podmínky singularity, které jsou ne vždy vhodně ošetřeny. Dalším nešvarem některých algoritmů je jejich velká časová náročnost (Kumar, Bangi 2018).

V rámci této úlohy byl vytvořen program v uživatelském rozhraní *Qt*, který hledá polohu bodu vůči polygonům pomocí dvou vybraných hojně užívaných metod - *Winding Number* a *Ray Crossing*. I vzhledem k využitelnosti tohoto programu byl zdrojový kód napsán tak, aby byly obě metody implementovatelné k nekonvexním mnohoúhelníkům, jež se v reálném světě vyskytují mnohem častěji než konvexní.

### 2.2 Metoda Winding Number

Tato metoda je založena na tom, že z pozorovaného bodu označovaného písmenem  $q$  jsou postupně ke všem vrcholům mnohoúhelníku  $P$  počítány úhly  $\omega_i$ , jejichž součet označovaný řeckým písmenem  $\Omega$  udává polohu bodu vůči mnohoúhelníku.

$$\Omega(q, P) = \begin{cases} 1, & q \in P, \\ 0, & q \notin P. \end{cases}$$

V první fázi algoritmu je nutné pro každou hranu určit směrový vektor  $\vec{u}$  mezi krajními body hrany  $v_i$  a  $v_{i+1}$  a směrový vektor  $\vec{v}$  mezi prvním bodem hrany  $v_i$  a zkoumaným bodem  $q$  pomocí vzorců:

$$\begin{aligned}\vec{u} &= (x_{i+1} - x_i, y_{i+1} - y_i), \\ \vec{v} &= (x_q - x_i, y_q - y_i),\end{aligned}$$

za předpokladu, že každý z těchto tří bodů, který vstupuje do vzorce, nese informaci o 2D souřadnici ve formátu  $[x, y]$ . Oba tyto vektory se následně dosadí do matice a vypočítá se jejich determinant  $D$ , aby bylo možné určit, zdali je bod  $q$  vůči přímce  $p$  (která je totožná s  $\vec{v}$ ) v levé ( $\sigma_l$ ) nebo pravé ( $\sigma_r$ ) polorovině:

$$D = (u_x * v_y) - (v_x * u_y) = \begin{cases} > 0, & q \in \sigma_l, \\ 0, & q \in p, \\ < 0, & q \in \sigma_r. \end{cases}$$

V závislosti na tom, v jaké polorovině se bod nachází pak úhel  $\alpha$  (mezi vektory  $\vec{u}$  a  $\vec{v}$ ) k  $\Omega$  buď přičítáme nebo odečítáme. Výsledná hodnota je uváděna v počtech oběhů čili v násobcích  $2\pi$ . Výsledná hodnota je také závislá na směru pohybu. Pokud procházíme jednotlivé vrcholy ve směru hodinových ručiček, vyjde nám výsledná hodnota  $\Omega$  záporná. Pokud se však jedná o záporný násobek  $2\pi$  beze zbytku, je hledaný bod uvnitř polygonu, stejně jako kdyby byla hodnota kladná. I proto využívá sestrojený algoritmus absolutní hodnotu  $\Omega$ .

Obecně lze winding number definovat také jako obrysový integrál v komplexní rovině (Alciatore, Miranda 1995):

$$\omega = \frac{1}{2\pi i} \int_P \frac{1}{z} \quad \text{where } z = x + iy$$

Mezi výhody tohoto algoritmu patří lepší ošetření singulárních případů (na rozdíl od Ray Crossing metody), avšak jedná se o metodu pomalejší a problém nastává v případě, že je hledaný bod zároveň jedním z vrcholů mnohoúhelníku. Špatný výsledek lze však dostat i z tzv. chyby ze zaokrouhlení. V odborné literatuře se pak s touto metodou můžeme setkat i pod názvem *Sum of Angles Method* (Huang, Shih 1997).

### 2.2.1 Pseudokód Winding Number

---

#### Algorithm 1 Winding Number

---

```

1: Pro každý polygon:
2:  $\Omega = 0$ 
3:   Pro každou hranu:
4:     Výpočet vektorů  $\vec{u}$  a  $\vec{v}$ .
6:     Výpočet determinantu  $D$ .
8:     Pokud  $D < 0$ :
9:        $q \in \sigma_r$ .
10:    Pokud  $D > 0$ :
11:       $q \in \sigma_l$ .
12:    Pokud  $D = 0$ :
13:       $q \in p$ .
15:
16:   Výpočet úhlu  $\alpha$  mezi vektory.
17:   Pokud  $q \in \sigma_l$ :
18:      $\Omega + \alpha$ 
19:   Pokud  $q \in \sigma_r$ :
20:      $\Omega - \alpha$ .
21:   Pokud  $q \in p$ :
22:     Výpočet  $(q - p_1)(q - p_2)$  pro  $x$  a  $y$ .
23:     Pokud jsou oba součiny nekladné:
24:       Bod  $q$  leží na hranici polygonu.
25:
26:   Pokud  $|\Omega| = 2\pi$ :
27:      $q \in P$ .
28:   Pokud  $|\Omega| < 2\pi$ :
29:      $q \notin P$ .
```

---

## 2.3 Metoda Ray Crossing

Princip této metody tkví ve vedení polopřímky  $r$  (paprsek, tj. ray) procházející zkoumaným bodem  $q$ . Jistou výhodou je invariance vůči směru tohoto paprsku. Metoda funguje stejně, když je paprsek veden pod libovolným úhlem. Nevýhodou této metody však jsou singularity.

Polopřímka  $r$  tedy na své délce protíná určitý počet hran v zadaném směru. Tato hodnota je označována písmenem  $k$ . O této hodnotě platí, že pokud je dělitelná dvěma beze zbytku, pak bod leží mimo polygon. V případě, že je zbytek po dělení roven 1, pak se bod  $q$  nachází uvnitř polygonu. Tato podmínka je definována vzorcem:

$$k \% 2 = \begin{cases} 1, & q \in P, \\ 0, & q \notin P. \end{cases}$$

Jedním z využívaných způsobů, jak ošetřit některé singularity, je varianta metody s redukcí ke  $q$ . Při ní dojde k vytvoření lokálního souřadnicového systému  $(q, x', y')$ . Počátek se tedy promítne do bodu  $q$  a zároveň vzniknou dvě nové osy  $x'$  a  $y'$ . Tato metoda bývá v odborné literatuře nazývána jako *Axis Crossing Method* (Kumar, Bangi 2018).

Hlavní nevýhodou této varianty je však neschopnost algoritmu detekovat stav, kdy zkoumaný bod leží na hraně polygonu  $P$ . K odhalení této skutečnosti využíváme speciální úpravu algoritmu, která pracuje se dvěma paprsky  $r_1$  a  $r_2$ , které mají opačnou orientaci -  $r_1$  je levostranný a  $r_2$  pravostranný. Pokud se počet průsečíků u paprsků  $r_1$  a  $r_2$  různí, pak bod  $q$  leží na hraně polygonu  $P$ .

V případech, kdy paprsek prochází bodem  $q$  a zároveň hranou/hranami zkoumaného polygonu, je aplikována upravená varianta metody *Ray Crossing*. V takovém případě dojde k tomu, že paprsek rozdělí rovinu na dvě poloroviny. Poté dochází k inkrementaci počtu průsečíků v závislosti na tom, kde se hrana vůči paprsku nachází. Existují dvě varianty aplikace. Tou první je, když se průsečík  $r$  a hrana/y mezi body  $p_{i-1}$  a  $p_i$  nachází v obou polorovinách nebo jen v té horní. Pak inkrementujeme  $k$  o příslušný počet průsečíků. Inkrementujeme však i v případě druhé varianty, která nastane, když je hrana  $p_{i-1}, p_i$  v obou vzniklých polorovinách nebo pouze v té dolní. Základním pravidlem zavedení této upravené metody do praxe však je, že se obě zmíněné varianty nesmí kombinovat (Bayer 2022).

### 2.3.1 Pseudokód Ray Crossing

---

**Algorithm 2** Ray Crossing

---

```
1: Pro každý polygon:
2:   Pro každou hranu  $\overline{p_1 p_2}$ :
3:      $p_1(y) < p_2(y)$ .
4:     Paprsek vysíláme od  $q$  doprava.
5:     Pokud bod  $q$  leží nad hranou nebo pod hranou nebo napravo od hrany:
6:       Paprsek neprochází hranou;  $k = k$ .
7:     Pokud bod  $q$  leží vlevo od hrany:
8:       Paprsek prochází hranou;  $k = k + 1$ .
9:
10:    Pro další případy:
11:      Výpočet směrnice hrany od bodu  $p_1$  do bodu  $q$ .
12:      Výpočet směrnice od bodu  $p_1$  do bodu  $q$ .
13:      Pokud se sobě směrnice rovnají:
14:        Bod  $q$  leží na hraně.
15:      Pokud je směrnice k bodu  $q$  větší:
16:        Paprsek prochází hranou;  $k = k + 1$ .
17:      Pokud je směrnice k bodu  $q$  menší:
18:        Paprsek neprochází hranou,  $k = k$ .
19:
20:    Pokud  $k \% 2 = 1$ :
21:       $q \in P$ .
22:    Pokud  $k \% 2 = 0$ :
23:       $q \notin P$ .
```

---

### 3 Problematické situace

Problematická se ukázala být situace u metody Winding Number, při níž bod  $q$  leží ve směru hrany polygonu ohraničené body  $p_1$  a  $p_2$ . Ošetření této singularity bylo učiněno dle následujícího vzorce, do nějž jsou zvlášť dosazovány hodnoty souřadnic  $x$  a  $y$ :

$$(q - p_1)(q - p_2) = \begin{cases} > 0, & q \notin P, \\ \leq 0, & q \in P. \end{cases}$$

Slovní popis postupu ošetření v kódu, viz kapitola *Pseudokód Winding Number, Algorithm 1, řádek 22 - 24*. U metody *Ray Crossing* žádná speciální problematická situace řešena nebyla.

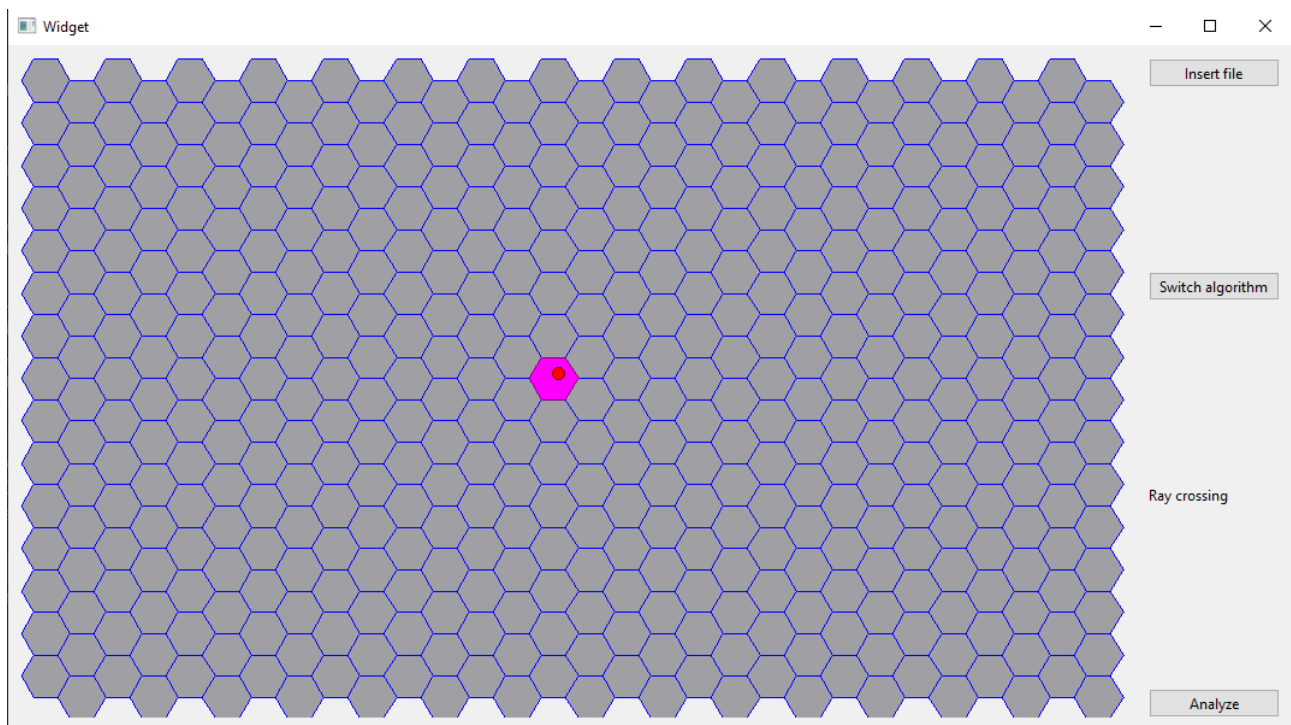
### 4 Vstupní a výstupní data

Data, která vstupují do programu jsou polygony uložené ve formátu *.shp* (shapefile). Lze analyzovat polygony konvexní i nekonvexní, ale podmínkou je, že musí být v souřadnicovém systému S-JTSK. Pro ukázkou je jako příloha k úloze připojen soubor s názvem *honeycomb.shp*, který obsahuje konvexní polygony uspořádané ve tvaru včelí plástve.

Vytvořený program pak nemá žádná výstupní data, která by byla k dispozici jako samostatný soubor. Proto za výstupní data lze označit maximálně grafické znázornění incidujícího polygonu.

### 5 Ukázka vytvořené aplikace

Na Obrázku 1 lze vidět výsledný *Widget*, neboli grafický výstup vytvořeného kódu. Hlavní část tvoří okno, v němž může uživatel kliknutím stanovit polohu zkoumaného bodu. V pravé části se pak nachází tři tlačítka. Prvním z nich je *Insert File*, pomocí nějž můžeme nahrát soubor s polygony. Prostřední *Switch algorithm* slouží k překlíknutí na vybraný algoritmus. V nabídce jsou dva - *Winding Number* a *Ray Crossing*. Tlačítko *Analyze* v pravém dolním rohu pak umožňuje uživateli zahájit proces analýzy, při němž dojde k vypočítání zvoleného algoritmu a následnému určení příslušnosti nakliknutého bodu k některému z polygonů (v případě, že se bod nachází uvnitř některého z nich).



Obrázek 1: Ukázka aplikace vyhledání polohy bodu metodou Ray Crossing

## 6 Dokumentace

Skript *MainForm.py*, přes který se program spouští, obsahuje třídu uživatelského rozhraní *Ui\_MainForm* navrženého pomocí SW *QTCreator*. Pro jednotlivá tlačítka má třída definované metody odkazující na skripty *draw.py* a *algorithms.py*. Skript *draw.py* obsahuje třídu *Draw*, která byla navržena pro vizualizaci objektů ve widgetu uživatelského rozhraní.

Parametry třídy *Draw* jsou:

- objekt *self.q* typu *QPoint* jehož poloha se bude vyšetřovat,
- seznam *self.polygons* objektů typu *QPolygon* vstupních polygonů,
- seznam *self.res\_pol* obsahující polygony ke zvýraznění,
- seznam *self.coordinates* obsahující seznamy souřadnic vstupních polygonů,
- seznam *self.extent* obsahující souřadnice rozsahu polygonů,
- seznam *self.canvas\_extent* obsahující šířku a výšku widgetu v pixelech.

Metodami třídy *Draw* jsou:

- *insertFile* - načítá vstupní soubor ve formátu *.shp*, ukládá jeho souřadnice do seznamu *self.coordinates* a hledá souřadnicové extrémy, které ukládá do seznamu *self.extent*
- *rescaleData* - škáluje souřadnice polygonů tak, aby se celý soubor vešel do okna widgetu
- *mousePressEvent* - upravuje souřadnice objektu *self.q* kliknutím do prostoru widgetu
- *paintEvent* - vykresluje jednotlivé objekty do okna widgetu
- *getPoint* - vrací objekt *QPoint*
- *getPolygons* - vrací seznam objektů typu *QPolygon* vstupních polygonů
- *setResPol* - přidává polygon do seznamu *self.res\_pol*
- *clearResPol* - vyprazdňuje seznam *self.res\_pol*

Skript *algorithms.py* obsahuje třídu *Algorithms*, která byla vytvořena pro implementaci Point Location Problem algoritmů.

Parametrem třídy *Algorithms* je:

- Booleovská proměnná *self.winding\_num*, která určuje, zdali program momentálně využívá algoritmus Winding Number.

Metodami třídy *Algorithms* jsou:

- *getPointAndLinePosition* – určuje vzájemnou polohu bodu a linie pomocí poloroviny
- *get2LinesAngle* – počítá velikost úhlu svíraného mezi dvěma úsečkami
- *getPositionPointAndPolygon* – určuje vzájemnou polohu bodu a polygonu metodou winding number
- *detectIntersection* – zjišťuje, zdali paprsek vyslaný z bodu doprava prochází úsečkou
- *rayCasting* - určuje vzájemnou polohu bodu a polygonu metodou ray crossing/ray casting
- *isWindingNumber* – vrací hodnotu parametru *self.winding\_num*
- *setSource* – provádí negaci parametru *self.winding\_num*

## 7 Závěr

Cílem této úlohy bylo sestavit program pomocí uživatelského rozhraní *Qt*, který by analyzoval polohu vybraného bodu vůči zvoleným polygonům, a to pomocí základních metod *Winding Number* a *Ray Crossing*. Tento program se podařilo úspěšně sestavit. Ke zdokonalení základního programu vedlo i splnění některých bonusových úloh.

Přesto by však bylo stále možné současný program ještě vylepšit. Chybí zde například ošetření simplexů u metody *Ray Crossing*. Konkrétně jde o ošetření případu, kdy bod leží na hraně polygonu. Výhodou by bylo i zvýraznění všech polygonů, kterých se tato singularita týká.

V celkovém kontextu se však podařilo sestavit funkční program, který poskytuje uživateli relativně uspokojivé výsledky. Zároveň je jednoduchý na používání i pro laickou veřejnost a snadno se v něm orientuje.

## 8 Seznam literatury

Zdrojový kód programu vznikl z velké části na základě informací z přednášky a cvičení vedených doc. Bayerem (2022). Informace byly čerpány z prezenčních lekcí a zároveň z prezentace dostupné na odkazu [https://web.natur.cuni.cz/bayertom/images/courses/Adk/adk3\\_new.pdf](https://web.natur.cuni.cz/bayertom/images/courses/Adk/adk3_new.pdf) (cit. 7. 3. 2022)

Alciatore, D., Miranda, R. (1995): A Winding Number and Point-in-Polygon Algorithm. Glaxo Virtual Anatomy Project Research Report.

Huang, C., W., Shih, T., Y. (1997): On the complexity of point-in-polygon algorithms. Computers & Geosciences, 23, 1, 109-118.

Kumar, B. N., Bangi, M. (2018): An Extension to Winding Number and Point-in-Polygon Algorithm. IFAC-PapersOnLine, 51, 1, 548-553.